#### Interazioni Elettrodeboli

prof. Francesco Ragusa Università di Milano

Lezione n. 15

28.11.2022

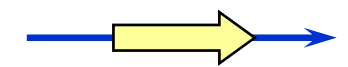
Polarizzazione nel decadimento  $\beta$ Esperimento di Frauenfelder Hamiltoniana del decadimento  $\beta$ Proiezioni chirali

anno accademico 2022-2023

· La polarizzazione degli elettroni è definita come

$$\wp = \frac{N_R - N_L}{N_R + N_L}$$

ullet Il numero degli elettroni Right-Handed è  $N_R$ 



ullet Il numero degli elettroni Left-Handed è  $N_L$ 



ullet I numeri  $N_R$  e  $N_L$  sono proporzionali alle larghezze di decadimento

$$N_{R,L}\,\sim\,\int d\Gamma_{R,L}$$

$$d\Gamma_{R,L} = \frac{1}{2m_N} \overline{\left|\mathfrak{M}^{R,L}\right|^2} d\Phi$$

ullet Come in precedenza l'elemento di matrice contiene interazioni S,V,A,T

$$\mathfrak{M}^{R,L} = \mathfrak{M}_S^{R,L} + \mathfrak{M}_V^{R,L} + \mathfrak{M}_A^{R,L} + \mathfrak{M}_T^{R,L}$$

$$\mathfrak{M}^{R,L} = \mathfrak{M}_S^{R,L} + \mathfrak{M}_V^{R,L} + \mathfrak{M}_A^{R,L} + \mathfrak{M}_T^{R,L}$$

- Rivediamo i singoli termini
  - Osserviamo in particolare la polarizzazione degli spinori dell'elettrone

• Scalare 
$$\mathfrak{M}_{S}^{R,L}=C_{S}\left\langle 1
ight
angle \overline{u}_{e}\left(k,s_{R,L}
ight)\!\left(1+lpha_{S}\gamma^{5}
ight)\!v_{
u}\left(k'
ight)$$

• Vettoriale 
$$\mathfrak{M}_{V}^{R,L}=C_{V}\left\langle 1
ight
angle \overline{u}_{e}\left(k,s_{R,L}
ight)\left(1+lpha_{V}\gamma^{5}
ight)\gamma^{0}v_{
u}\left(k'
ight)$$

• Vettoriale assiale 
$$\mathfrak{M}_{A}^{R,L}=C_{A}\left\langle \sigma_{j}\right
angle \overline{u}_{e}\left(k,s_{R,L}\right)\left(1+lpha_{A}\gamma^{5}\right)\gamma^{5}\gamma^{j}v_{
u}\left(k'
ight)$$

• Tensoriale 
$$\mathfrak{M}_{T}^{R,L}=2C_{T}\left\langle \sigma_{j}\right
angle \overline{u}_{e}\left( k,s_{R,L}\right) \left( 1+lpha_{T}\gamma^{5}\right) \Sigma^{j}v_{
u}\left( k^{\prime}
ight)$$

- Il calcolo del quadrato del modulo procede in maniera analoga a quanto fatto precedentemente sommando su tutti gli stati di polarizzazione non osservati ( n, p,  $\nu$  )
  - Dato che sommiamo sulla polarizzazione iniziale (del neutrone) non ci sono termini di interferenza  $SA,\,ST,\,VA,\,\mathrm{VT}$ 
    - Di nuovo abbiamo i due elementi di matrice di Fermi e di Gamov-Teller
  - · Le somme sugli stati di polarizzazione si fanno con la tecnica delle tracce
    - La polarizzazione degli elettroni si introduce tramite i proiettori di spin
- L'elemento di matrice di Fermi è pertanto

$$\Gamma \stackrel{p}{\stackrel{k}{\smile}} k \quad (\not k + m_e) (1 + \gamma^5 \not s_{RL}) \quad (\not k' - m_\nu)$$

$$\begin{split} \overline{\left|\mathfrak{M}_{F}^{R,L}\right|^{2}} &= C_{S}^{2} 2m_{N}^{2} Tr \left[ \left( \rlap{/}k + m_{e} \right) \left( 1 + \gamma^{5} \rlap{/}s_{R,L} \right) \left( 1 + \alpha_{S} \gamma^{5} \right) \rlap{/}k' \left( 1 - \alpha_{S} \gamma^{5} \right) \right] + \\ &+ C_{V}^{2} 2m_{N}^{2} Tr \left[ \left( \rlap{/}k + m_{e} \right) \left( 1 + \gamma^{5} \rlap{/}s_{R,L} \right) \left( 1 + \alpha_{V} \gamma^{5} \right) \gamma^{0} \rlap{/}k' \left( 1 + \alpha_{V} \gamma^{5} \right) \gamma^{0} \right] + \\ &+ 2 \operatorname{Re} \left[ C_{S} C_{V} 2m_{N}^{2} Tr \left[ \left( \rlap{/}k + m_{e} \right) \left( 1 + \gamma^{5} \rlap{/}s_{R,L} \right) \left( 1 + \alpha_{S} \gamma^{5} \right) \rlap{/}k' \left( 1 + \alpha_{V} \gamma^{5} \right) \gamma^{0} \right] \right] \end{split}$$

- Occorre definire i vettori di polarizzazione
  - ullet Il vettore  $s_R$  definisce una polarizzazione parallela alla direzione di moto: polarizzazione Right-Handed
    - Il vettore polarizzazione  $\xi$  (nel sistema di riposo) è parallelo a p (  $|\xi|=1$ )

$$s^0 = \frac{\mathbf{k} \cdot \mathbf{\xi}}{m_e}$$

$$s_R^0 = \frac{\mathbf{k} \cdot \mathbf{\xi}}{m_e} = \frac{|\mathbf{k}|}{m_e}$$

$$\mathbf{s} = \mathbf{\xi} + \frac{(\mathbf{\xi} \cdot \mathbf{k})\mathbf{k}}{m_e (E_e + m_e)}$$

$$\mathbf{s} = \mathbf{\xi} + \frac{(\mathbf{\xi} \cdot \mathbf{k})\mathbf{k}}{m_e (E_e + m_e)} \qquad \mathbf{s}_R = \frac{\mathbf{k}}{|\mathbf{k}|} + \frac{|\mathbf{k}|\mathbf{k}}{m_e (E_e + m_e)} = \frac{m_e (E_e + m_e) + |\mathbf{k}|^2}{m_e (E_e + m_e)|\mathbf{k}|} \mathbf{k}$$

$$= \frac{m_e E_e + E_e^2}{m_e (E_e + m_e) |\mathbf{k}|} \mathbf{k} = \frac{E_e \mathbf{k}}{m_e |\mathbf{k}|}$$

$$s_R = \left(\frac{|\mathbf{k}|}{m_e}, \frac{E_e}{m_e} \frac{\mathbf{k}}{|\mathbf{k}|}\right)$$

• Il vettore  $s_L$  si ottiene semplicemente cambiando  $\xi 
ightarrow -\xi$  e quindi

$$s_L = -s_R$$

• Ricordiamo la definizione di polarizzazione

$$\wp = \frac{N_R - N_L}{N_R + N_L}$$

• Il numero di elettroni per le due polarizzazioni è dato da

- Pertanto la polarizzazione è data da
  - L'integrale sullo spazio delle fasi è su tutte le variabili cinematiche escluso  $\boldsymbol{E}_{e}$
- · Calcoliamo il numeratore
  - Ricordiamo che

$$\mathbf{E}_{e} = \frac{\int \left( \overline{\left| \mathfrak{M}^{R} \right|^{2}} - \overline{\left| \mathfrak{M}^{L} \right|^{2}} \right) d\Phi}{\int \left( \overline{\left| \mathfrak{M}^{R} \right|^{2}} + \overline{\left| \mathfrak{M}^{L} \right|^{2}} \right) d\Phi}$$

$$\not s_L = -\not s_R \qquad \dots (\not X + \gamma^5 \not s_R) \dots - \dots (\not X + \gamma^5 \not s_L) \dots = 2\gamma^5 \not s_R$$

$$\overline{\left|\mathfrak{M}_{F}^{R}\right|^{2}} - \overline{\left|\mathfrak{M}_{F}^{L}\right|^{2}} = C_{S}^{2} 2m_{N}^{2} Tr\left[\left(\rlap{k} + m_{e}\right) 2\gamma^{5} \rlap{s}_{R} \left(1 + \alpha_{S} \gamma^{5}\right) \rlap{k}' \left(1 - \alpha_{S} \gamma^{5}\right)\right] + C_{V}^{2} 2m_{N}^{2} Tr\left[\left(\rlap{k} + m_{e}\right) 2\gamma^{5} \rlap{s}_{R} \left(1 + \alpha_{V} \gamma^{5}\right) \gamma^{0} \rlap{k}' \left(1 + \alpha_{V} \gamma^{5}\right) \gamma^{0}\right] + 2\operatorname{Re}\left[C_{S} C_{V} 2m_{N}^{2} Tr\left[\left(\rlap{k} + m_{e}\right) 2\gamma^{5} \rlap{s}_{R} \left(1 + \alpha_{S} \gamma^{5}\right) \rlap{k}' \left(1 + \alpha_{V} \gamma^{5}\right) \gamma^{0}\right]\right]$$

• Esaminiamo adesso un generico termine

commuta con ½′

anticommuta con k'

· Ad es. il termine scalare

$$\left|\overline{\mathfrak{M}_{F}^{R}}\right|^{2} - \left|\overline{\mathfrak{M}_{F}^{L}}\right|^{2} = C_{S}^{2} 2m_{N}^{2} Tr\left[\left(\cancel{k} + m_{e}\right) 2\gamma^{5} \cancel{s}_{R} \left(1 + \alpha_{S} \gamma^{5}\right) \cancel{k}' \left(1 - \alpha_{S} \gamma^{5}\right)\right]$$

- Possiamo trasportare (  $1-lpha_S\gamma^5$  ) a sinistra trasformandolo in (  $1+lpha_S\gamma^5$  )
  - Ricordiamo che (  $\gamma^5$  ) $^2=I$
  - Otteniamo pertanto  $\left(1+\alpha_S\gamma^5\right)^2=1+2\alpha_S\gamma^5+\alpha_S^2$
- Introduciamo questi risultati nel calcolo

$$\overline{\left|\mathfrak{M}_{F}^{R}\right|^{2}} - \overline{\left|\mathfrak{M}_{F}^{L}\right|^{2}} = 4C_{S}^{2}m_{N}^{2}Tr\left[\left(\cancel{k} + m_{e}\right)\gamma^{5}\cancel{s}_{R}\left(1 + \alpha_{S}\gamma^{5}\right)^{2}\cancel{k}'\right] + 4C_{V}^{2}m_{N}^{2}Tr\left[\left(\cancel{k} + m_{e}\right)\gamma^{5}\cancel{s}_{R}\left(1 + \alpha_{V}\gamma^{5}\right)^{2}\gamma^{0}\cancel{k}'\gamma^{0}\right] + 8\operatorname{Re}\left[C_{S}C_{V}m_{N}^{2}Tr\left[\left(\cancel{k} + m_{e}\right)\gamma^{5}\cancel{s}_{R}\left(1 + \alpha_{S}\gamma^{5}\right)\left(1 - \alpha_{V}\gamma^{5}\right)\cancel{k}'\gamma^{0}\right]\right]$$

• Possiamo ancora anticommutare  $oldsymbol{\gamma}^5$  con  $oldsymbol{\sharp}_R$ 

$$\gamma^{5} \left( 1 + \alpha_{S,V} \gamma^{5} \right)^{2} = \gamma^{5} \left( 1 + 2\alpha_{S,V} \gamma^{5} + \alpha_{S,V}^{2} \right) = \left( 1 + \alpha_{S,V}^{2} \right) \gamma^{5} + 2\alpha_{S,V}$$

Per il terzo termine

$$\gamma^{5} (1 + \alpha_{S} \gamma^{5}) (1 - \alpha_{V} \gamma^{5}) = \gamma^{5} (1 - \alpha_{V} \gamma^{5} + \alpha_{S} \gamma^{5} - \alpha_{S} \alpha_{V})$$

$$= \gamma^{5} (1 - \alpha_{S} \alpha_{V}) + \gamma^{5} (\alpha_{S} - \alpha_{V}) \gamma^{5} = (1 - \alpha_{S} \alpha_{V}) \gamma^{5} + (\alpha_{S} - \alpha_{V})$$

• Introducendo nell'espressione

$$\overline{\left|\mathfrak{M}_{F}^{R}\right|^{2}} - \overline{\left|\mathfrak{M}_{F}^{L}\right|^{2}} = -4C_{S}^{2}m_{N}^{2}Tr\left[\left(\cancel{k} + m_{e}\right)\cancel{s}_{R}\left(\left(1 + \alpha_{S}^{2}\right)\gamma^{5} + 2\alpha_{S}\right)\cancel{k}'\right] + \\
-4C_{V}^{2}m_{N}^{2}Tr\left[\left(\cancel{k} + m_{e}\right)\cancel{s}_{R}\left(\left(1 + \alpha_{V}^{2}\right)\gamma^{5} + 2\alpha_{V}\right)\gamma^{0}\cancel{k}'\gamma^{0}\right] + \\
-8\operatorname{Re}\left[C_{S}C_{V}m_{N}^{2}Tr\left[\left(\cancel{k} + m_{e}\right)\cancel{s}_{R}\left(\left(1 - \alpha_{S}\alpha_{V}\right)\gamma^{5} + (\alpha_{S} - \alpha_{V})\right)\cancel{k}'\gamma^{0}\right]\right]$$

• E finalmente

$$\begin{array}{ccc}
 & & & \\$$

$$\begin{split} \overline{\left|\mathfrak{M}_{F}^{R}\right|^{2}} - \overline{\left|\mathfrak{M}_{F}^{L}\right|^{2}} &= -4C_{S}^{2}m_{N}^{2}Tr\left[2\alpha_{S}m_{e}\rlap{/}s_{R}\rlap{/}k'\right] - 4C_{V}^{2}m_{N}^{2}Tr\left[2\alpha_{S}m_{e}\rlap{/}s_{R}\gamma^{0}\rlap{/}k'\gamma^{0}\right] - \\ &- 8\operatorname{Re}\left[C_{S}C_{V}m_{N}^{2}Tr\left[\left(1 - \alpha_{S}\alpha_{V}\right)\gamma^{5}\rlap{/}k\rlap{/}s_{R}\rlap{/}k'\gamma^{0} + \left(\alpha_{S} - \alpha_{V}\right)\rlap{/}k\rlap{/}s_{R}\rlap{/}k'\gamma^{0}\right]\right] \end{split}$$

Siamo quasi alla fine !!!

$$\overline{\left|\mathbf{\mathfrak{M}}_{F}^{R}\right|^{2}} - \overline{\left|\mathbf{\mathfrak{M}}_{F}^{L}\right|^{2}} = -4C_{S}^{2}m_{N}^{2}Tr\left[2\alpha_{S}m_{e}\rlap{/}s_{R}\rlap{/}k'\right] - 4C_{V}^{2}m_{N}^{2}Tr\left[2\alpha_{V}m_{e}\rlap{/}s_{R}\gamma^{0}\rlap{/}k'\gamma^{0}\right] - 8\operatorname{Re}\left[C_{S}C_{V}m_{N}^{2}Tr\left[\left(1 - \alpha_{S}\alpha_{V}\right)\gamma^{5}\rlap{/}k\rlap{/}s_{R}\rlap{/}k'\gamma^{0} + \left(\alpha_{S} - \alpha_{V}\right)\rlap{/}k\rlap{/}s_{R}\rlap{/}k'\gamma^{0}\right]\right]$$

$$\left| Tr \big( \phi b \phi \big( b \big) = 4 [(a \cdot b)(c \cdot d) - (a \cdot c)(b \cdot d) + (a \cdot d)(b \cdot c)] \right|$$

$$Tr(\gamma^{\mu}\gamma^{\nu}\gamma^{\alpha}\gamma^{\beta}\gamma^{5}) = 4i\varepsilon^{\mu,\nu,\alpha,\beta} \operatorname{Re}\left[4i\varepsilon^{\mu,\nu,\alpha,0}k_{\mu}(s_{R})_{\nu}k_{\alpha}'\right] = 0$$

$$= -8C_S^2 m_N^2 \alpha_S m_e 4(s_R \cdot k') - 8C_V^2 m_N^2 \alpha_V m_e 4(2s_R^0 E_\nu - s_R \cdot k') - 8(\alpha_S - \alpha_V) C_S C_V m_N^2 4(s_R \cdot k E_\nu - k \cdot k' s_R^0 + E_e s_R \cdot k')$$

- Ricordiamo la proprietà del vettore  $s^{\mu}$ :  $s_R \cdot k = 0$
- ullet Per finire, ricordiamo che  $s_R,\,k,\,k'$  sono
  - Introduciamoli nel calcolo

$$s_R = \left(\frac{|\mathbf{k}|}{m_e}, \frac{E_e}{m_e} \frac{\mathbf{k}}{|\mathbf{k}|}\right)$$

$$k' = (E_u, \mathbf{k}_u)$$

$$k = (E_e, \mathbf{k})$$

$$\overline{\left|\mathfrak{M}_{F}^{R}\right|^{2}} - \overline{\left|\mathfrak{M}_{F}^{L}\right|^{2}} = -8C_{S}^{2}m_{N}^{2}\alpha_{S}4E_{\nu}E_{e}\left(\beta_{e} - \cos\theta_{e\nu}\right) - 8C_{V}^{2}m_{N}^{2}\alpha_{V}4E_{\nu}E_{e}\left(\beta_{e} + \cos\theta_{e\nu}\right) - 8C_{V}^{2}m_{N}^{2}\alpha_{V}AE_{\nu}E_{e}\left(\beta_{e} + \cos\theta_{e\nu}\right) - 8C_{V}^{2}m_{N}^{2}\alpha_{V}AE_{\nu}E_{\nu}E_{e}\left(\beta_{e} + \cos\theta_{e\nu}\right) - 8C_{V}^{2}m_{N}^{2}\alpha_{V}AE_{\nu}E_{\nu}E_{\nu}E_{\nu}E_{$$





· Ricordiamo che

$$\wp = \frac{\int \left( \overline{\left| \mathfrak{M}^R \right|^2} - \overline{\left| \mathfrak{M}^L \right|^2} \right) d\Phi}{\int \left( \overline{\left| \mathfrak{M}^R \right|^2} + \overline{\left| \mathfrak{M}^L \right|^2} \right) d\Phi}$$

• Il numeratore (risultato del calcolo precedente) è

• L'integrale sulle direzioni dell'elettrone e del neutrino elimina i termini dipendenti da  $\cos\theta_{e\nu}$ 

$$-8C_{S}^{2}m_{N}^{2}\alpha_{S}4E_{\nu}E_{e}\beta_{e} - 8C_{V}^{2}m_{N}^{2}\alpha_{V}4E_{\nu}E_{e}\beta_{e}$$

- Per quel che riguarda il denominatore notiamo che i termini  $\mathfrak{M}^R$  e  $\mathfrak{M}^L$  contengono rispettivamente  $\frac{1}{2} \left(1 \gamma^5 /_{\!\!\!/} \right)$   $\frac{1}{2} \left(1 + \gamma^5 /_{\!\!\!/} \right)$ 
  - La somma di questi due termini è pertanto 1
- Il denominatore (integrato sulle direzioni) risulta uguale al risultato trovato per la distribuzione dell'energia

$$16m_N^2 E_e E_{\nu} \left[ C_S^2 \left( 1 + \alpha_S^2 \right) + C_V^2 \left( 1 + \alpha_V^2 \right) \right]$$

ullet Abbiamo usato il risultato sperimentale che l'interferenza di Fierz è 0

· La polarizzazione degli elettroni è pertanto

$$\wp = \frac{-8C_S^2 m_N^2 \alpha_S 4E_{\nu} E_e \beta_e - 8C_V^2 m_N^2 \alpha_V 4E_{\nu} E_e \beta_e}{16m_N^2 E_e E_{\nu} \left[ C_S^2 \left( 1 + \alpha_S^2 \right) + C_V^2 \left( 1 + \alpha_V^2 \right) \right]}$$

$$\wp = -\beta_e \frac{2C_S^2 \alpha_S + 2C_V^2 \alpha_V}{C_S^2 (1 + \alpha_S^2) + C_V^2 (1 + \alpha_V^2)}$$

- Vedremo fra poco che gli studi sperimentali della polarizzazione degli elettroni hanno mostrato che  $\wp = -\beta_e$ 
  - Pertanto le misure sperimentali richiedono che

$$\frac{2C_S^2\alpha_S + 2C_V^2\alpha_V}{C_S^2\left(1 + \alpha_S^2\right) + C_V^2\left(1 + \alpha_V^2\right)} = 1 \qquad 2C_S^2\alpha_S + 2C_V^2\alpha_V = C_S^2\left(1 + \alpha_S^2\right) + C_V^2\left(1 + \alpha_V^2\right)$$

$$C_S^2\left(1 + \alpha_S^2\right) - 2C_S^2\alpha_S + C_V^2\left(1 + \alpha_V^2\right) - 2C_V^2\alpha_V = 0$$

$$C_S^2\left(1 - \alpha_S^2\right)^2 + C_V^2\left(1 - \alpha_V^2\right)^2 = 0$$

- Ricordiamo che dalla misura della distribuzione dell'energia si conclude che il termine di interferenza di Fierz è assente
  - L'implicazione di questo risultato sulle costanti di accoppiamento è

$$C_S C_V \left( 1 - \alpha_S \alpha_V \right) = 0$$

- · Abbiamo già notato non possiamo trarre conclusioni solo da questo risultato
- D'altro canto, dalla misura delle correlazioni angolari

$$a_F = \frac{C_V^2 (1 + \alpha_V^2) - C_S^2 (1 + \alpha_S^2)}{C_V^2 (1 + \alpha_V^2) + C_S^2 (1 + \alpha_S^2)} = 1$$

Questo risultato implica

$$C_V^2 + \alpha_V^2 - C_S^2 (1 + \alpha_S^2) = C_V^2 (1 + \alpha_V^2) + C_S^2 (1 + \alpha_S^2)$$
$$-C_S^2 (1 + \alpha_S^2) = +C_S^2 (1 + \alpha_S^2)$$

- ullet Da cui, come prima dell'introduzione della violazione della parità  $C_S=0$
- Combinando questo risultato con la misura della polarizzazione

$$C_S^2 (1 - \alpha_S)^2 + C_V^2 (1 - \alpha_V)^2 = 0$$
  $C_V^2 (1 - \alpha_V)^2 = 0$   $\alpha_V = 1$ 

#### Misura della Polarizzazione

- Per misurare la polarizzazione di un elettrone occorre chiedersi se ci sono effetti misurabili dipendenti dalla polarizzazione nella interazione di un elettrone o con un campo coulombiano o con un elettrone atomico
- Fra i metodi principali
  - Mott scattering
    - Scattering con il campo Coulombiano del nucleo di un atomo pesante
    - Sensibile solo polarizzazione trasversale alla direzione di moto
  - Møller scattering
    - Interazione dell'elettrone che si vuole analizzare con un elettrone atomico
    - L'elettrone atomico deve essere polarizzato
  - Bhabha scattering
    - Come il precedente ma per analizzare la polarizzazione di positroni
- Analizzeremo solo un esperimento che usa il primo metodo
  - Purtroppo lo scattering Coulombiano dipende dalla polarizzazione solo al secondo ordine dell'approssimazione di Born
    - L'effetto è piccolo: si usano nuclei pesanti (alto Z)
  - Inoltre, come già osservato, è sensibile solo ad una polarizzazione trasversale

- Come trasformare la polarizzazione longitudinale in trasversale?
  - Ovviamente con un campo elettromagnetico
- Per descrivere l'effetto di un campo elettromagnetico classico sullo spin di una particella si può utilizzare l'equazione semiclassica (Bargman, Michel, Telegdi)

$$\hbar \frac{ds^{\mu}}{d\tau} = 2 \mathfrak{m} F^{\mu\nu} s_{\nu} - 2 u^{\mu} \mathfrak{m}' F^{\nu\lambda} u_{\nu} s_{\lambda}$$
 
$$\mathfrak{m}' = \frac{e \hbar}{2mc}$$
 
$$\mathfrak{m}'$$
 
$$\mathfrak{m}'$$
 momento magnetico



momento magnetico anomalo

- L'equazione descrive il moto del vettore di polarizzazione  $s^{\mu}$  sotto l'effetto di un campo elettromagnetico
  - Il campo non deve essere troppo intenso
  - Vale per qualunque campo "macroscopico"
  - Solo per campi a livello microscopico potrebbe essere non valida
- È più intuitivo utilizzare una equazione che descriva il moto del vettore ξ nel sistema di riposo istantaneo della particella
  - In questo sistema l'equazione diventa (possiamo assumere  $\mathfrak{m}'=0$ )

$$\hbar \frac{d\mathbf{\xi}}{dt} = \frac{2\mathbf{m}}{\gamma} \mathbf{\xi} \times \mathbf{B} + \frac{2\mathbf{m}}{\gamma + 1} \mathbf{\xi} \times (\mathbf{E} \times \mathbf{\beta})$$

• †Landau, Lifshitz - Quantum Electrodynamics §41p,151 - Pergamon Press 1982

- Il sistema utilizzato per ruotare la polarizzazione per elettroni di bassa energia fu inventato nel 1951 da Tolhoek e de Groot
  - ullet Una guida circolare realizza un campo elettrico radiale (B=0)
  - Gli elettroni di energia opportuna seguono una trajettoria circolare
    - Il campo elettrico fornisce una forza centripeta
- Se l'energia dell'elettrone non è elevata (  $\gamma pprox 1$  )
  - Il moto è praticamente non relativistico
  - Vedremo che la polarizzazione non risente del campo elettrico
    - La direzione dello spin rimane invariata
- Se l'energia dell'elettrone è elevata  $(\gamma\gg 1)$ 
  - Lo spin sente l'effetto del campo elettrico e precessa
- Calcoliamo adesso la rotazione del vettore polarizzazione senza assunzioni sulla velocità dell'elettrone

- Iniziamo calcolando il raggio dell'orbita in funzione del campo elettrico E e della velocità
  - La legge di Newton

$$\frac{d\mathbf{p}}{dt} = e\mathbf{E}$$

- La variazione di quantità di moto dell'elettrone quando ha percorso una lunghezza Rd heta è  $d{
  m p}={
  m p}\,d heta$ 
  - $d\theta = \frac{|d\mathbf{p}|}{|\mathbf{p}|} = \frac{|\mathbf{F}|dt}{|\mathbf{p}|} = \frac{eEdt}{|\mathbf{p}|} = \frac{eEdt}{mc\gamma\beta}$ Pertanto
- La velocità angolare è

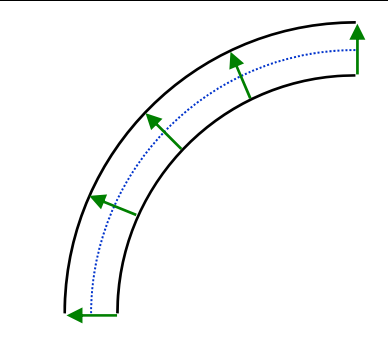
$$\omega_{\mathbf{p}} = \frac{d\theta}{dt} = \frac{eE}{mc\gamma\beta}$$

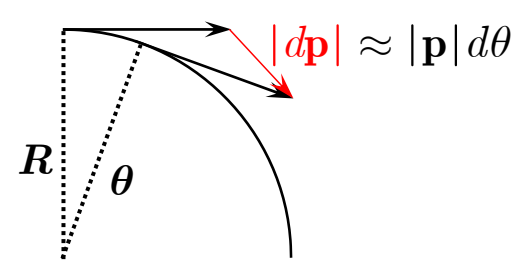
Il periodo

$$T = \frac{2\pi}{\omega_{\mathbf{p}}} = 2\pi \frac{mc\gamma\beta}{eE}$$

A questo punto calcoliamo il raggio dell'orbita

$$2\pi R = \beta c T = \frac{2\pi \beta m c^2 \gamma \beta}{eE}$$





- Studiamo adesso la precessione dello spin
  - Ricordiamo l'equazione Bargman, Michel, Telegdi

$$\hbar \frac{d\mathbf{\xi}}{dt} = \frac{2\mathbf{m}}{\gamma} \mathbf{\xi} \times \mathbf{B} + \frac{2\mathbf{m}}{\gamma + 1} \mathbf{\xi} \times (\mathbf{E} \times \mathbf{\beta})$$

 $\mathfrak{m} = \frac{e\hbar}{2mc}$ 

• Per B = 0 diventa

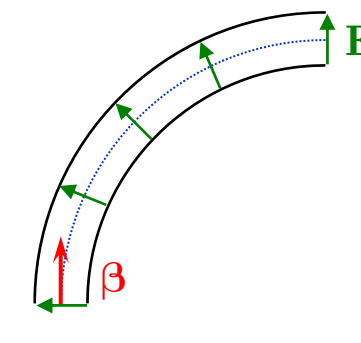
$$\hbar \frac{d\mathbf{\xi}}{dt} = \frac{2\mathbf{m}}{\gamma + 1} \mathbf{\xi} \times (\mathbf{E} \times \mathbf{\beta})$$

- Il vettore  $\mathbf{E} \times \boldsymbol{\beta}$  è perpendicolare al piano individuato da  $\mathbf{E}$  e  $\boldsymbol{\beta}$
- Il vettore  $\xi \times (E \times \beta)$  è sul piano ed è perpendicolare a  $\xi$ 
  - Riscriviamo l'equazione di BGT

$$rac{doldsymbol{\xi}}{dt}=oldsymbol{\xi} imesoldsymbol{\Omega}_{\!\xi}$$

- Descrive una precessione
  - Lo spin quindi precessa

$$\mathbf{\Omega}_{\xi} = \frac{2\mathfrak{m}}{\hbar (\gamma + 1)} \mathbf{E} \times \boldsymbol{\beta}$$



• La variazione dello spin  $d\xi$  è sul piano

$$d\theta = \frac{|d\xi|}{|\xi|} = \frac{|\xi \times \Omega_{\xi}|}{|\xi|} dt \quad \frac{d\theta}{dt} = \omega_{\xi} = |\Omega_{\xi}| = \frac{2\mathfrak{m}}{\hbar (\gamma + 1)} |\mathbf{E}| |\beta| \quad = \frac{2e\hbar}{\hbar 2mc(\gamma + 1)} |\mathbf{E}| \beta$$

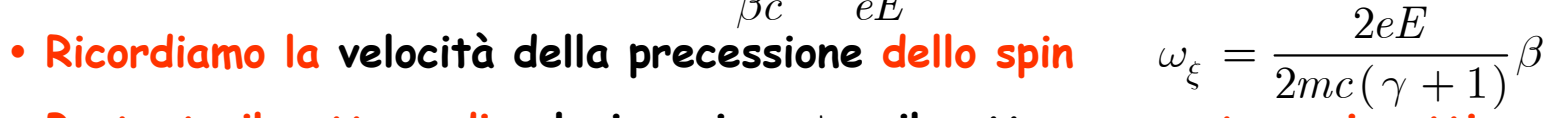
$$\omega_{\xi} = \frac{2eE}{2mc(\gamma+1)}\beta$$

• Supponiamo adesso che l'elettrone abbia percorso un tratto  $\Delta \ell$  dell'arco

$$\Delta \ell = R \Delta \alpha = \frac{mc^2}{eE} \gamma \beta^2 \Delta \alpha$$

- Vogliamo calcolare l'angolo fra
  - La quantità di moto p
  - Il vettore di polarizzazione ξ
- ullet Per percorrere la distanza  $\Delta\ell$  l'elettrone impiega un tempo

$$\Delta T = \frac{\Delta \ell}{\beta c} = \frac{mc}{eE} \gamma \beta \Delta \alpha$$



$$\omega_{\xi} = \frac{2eE}{2mc(\gamma + 1)}\beta$$

• Pertanto il vettore di polarizzazione  $\xi$  e il vettore p ruotano rispettivamente

$$\Delta \theta_{\mathbf{p}} = \Delta \alpha \qquad \Delta \theta_{\xi} = \omega_{\xi} \Delta T = \frac{eE}{mc(\gamma + 1)} \beta \frac{mc}{eE} \gamma \beta \Delta \alpha = \frac{\gamma \beta^{2}}{(\gamma + 1)} \Delta \alpha$$

Eliminiamo β

$$\frac{1}{\gamma+1} = \frac{\gamma-1}{\gamma^2-1} = \frac{\gamma-1}{\frac{1}{1-\beta^2}-1} = \frac{\gamma-1}{\gamma^2\beta^2}$$

Sostituendo

$$\Delta \theta_{\xi} = \frac{\gamma - 1}{\gamma} \Delta \alpha$$

 $R = \frac{mc^2}{\rho E} \gamma \beta^2$ 

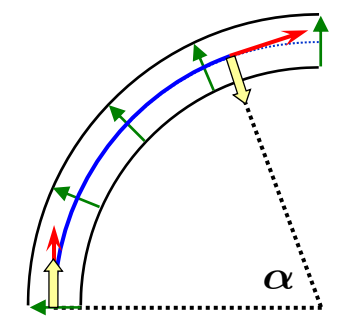
• Pertanto dopo aver percorso uno spazio  $\Delta \ell = R \Delta lpha$  l'angolo fra i due vettori è

$$\Delta \theta_{\mathbf{p}\xi} \equiv \Delta \theta_{\mathbf{p}} - \Delta \theta_{\xi} = \left(1 - \frac{\gamma - 1}{\gamma}\right) \Delta \alpha$$

$$\Delta \theta_{\mathbf{p}\xi} = \frac{\Delta \alpha}{\gamma}$$

 Pertanto, affinché la quantità di moto e lo spin siano perpendicolari deve essere

$$\Delta\theta_{\mathbf{p}\xi} = \frac{\pi}{2} = \frac{\Delta\alpha}{\gamma}$$

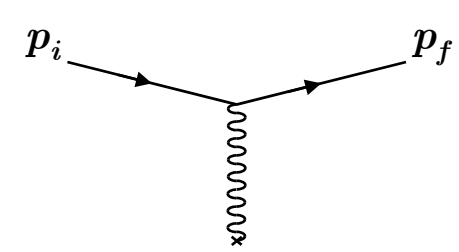


- ullet Dato un elettrone di energia  $mc^2\gamma$  la guida deve avere una lunghezza  $R\Deltalpha$
- L'angolo  $\Delta lpha$  è dato da

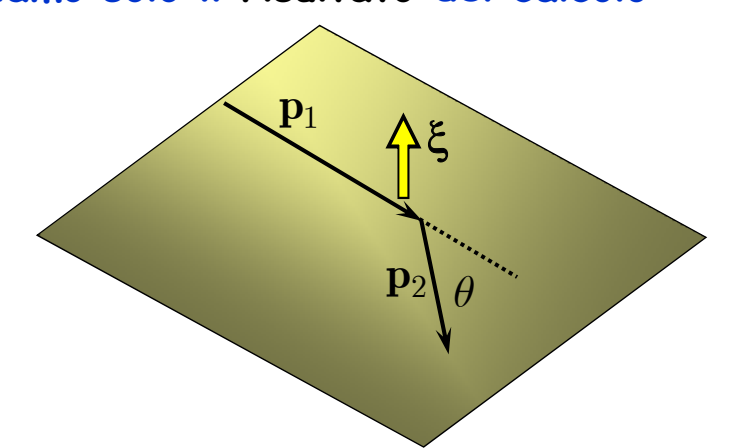
$$\Delta \alpha = \gamma \frac{\pi}{2}$$

#### Sezione d'urto Mott

- La sezione d'urto Mott è relativa all'interazione di un elettrone con il campo Coulombiano
  - Il bersaglio ha massa infinita
  - Si tiene conto dello spin dell'elettrone con la teoria di Dirac



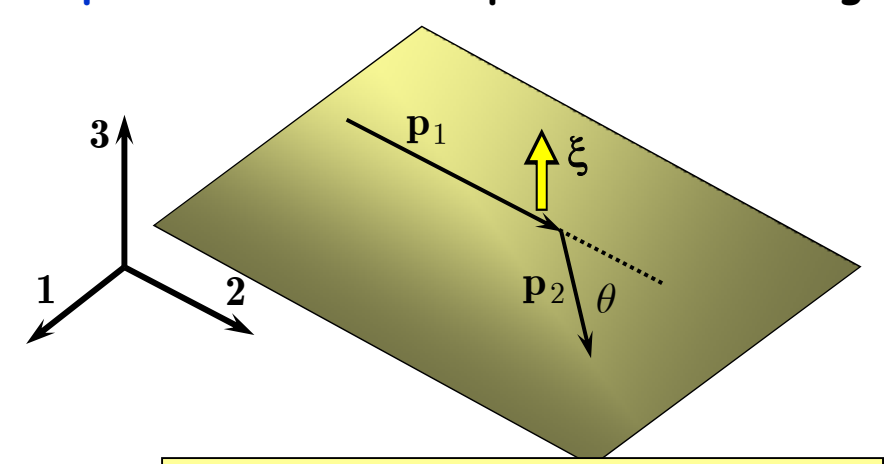
- Abbiamo fatto questo calcolo al primo ordine della teoria perturbativa
  - A questo ordine non appaiono effetti legati alla polarizzazione
  - Una dipendenza dalla polarizzazione compare al secondo ordine<sup>†</sup>
- Diamo solo il risultato del calcolo



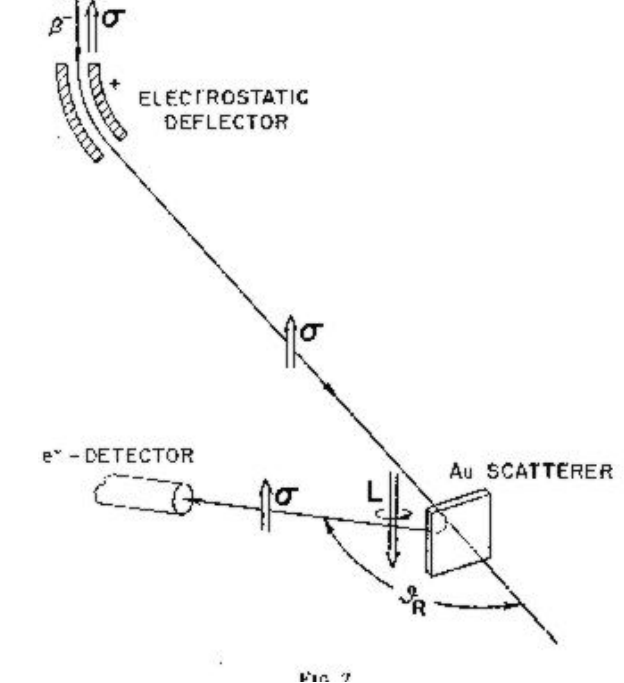
$$\sigma(\theta, \xi) \sim I(\theta) + \frac{D(\theta)}{|\sin \theta|} \hat{\mathbf{p}}_1 \times \hat{\mathbf{p}}_2 \cdot \xi$$

- Per le funzioni  $I(\theta)$  e  $D(\theta)$  vedi Landau<sup>†</sup>
- †vedi Landau Lifshitz Quantum Electrodynamics 12.1 pag 534

• La figura mostra schematicamente l'apparato dell'esperimento di Frauenfelder per la misura della polarizzazione degli elettroni di un decadimento  $\beta$ 



$$\sigma(\theta, \xi) \sim I(\theta) + \frac{D(\theta)}{|\sin \theta|} \hat{\mathbf{p}}_1 \times \hat{\mathbf{p}}_2 \cdot \xi$$



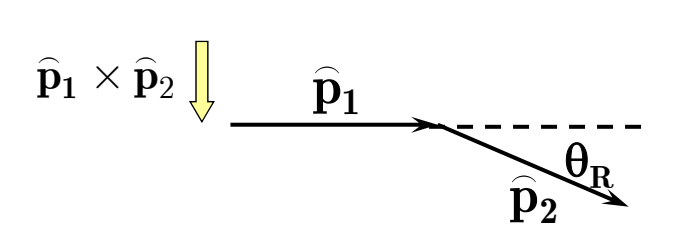
• Notiamo che se l'angolo di deflessione heta va a sinistra il prodotto vettoriale  $\widehat{\mathbf{p}}_1 imes \widehat{\mathbf{p}}_2$  cambia segno (cambia il segno della componente 1 di  $p_2$  )

$$\left(\widehat{\mathbf{p}}_{1} \times \widehat{\mathbf{p}}_{2}\right)_{3} = \varepsilon_{3jk} p_{1}^{j} p_{2}^{k} = \varepsilon_{321} p_{1}^{2} p_{2}^{1}$$

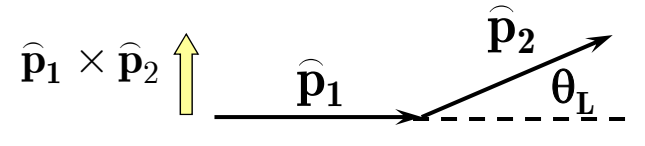
- Supponiamo adesso che gli elettroni siano completamente polarizzati
  - In un caso paralleli alla quantità di moto (RH)
  - Nell'altro caso antiparalleli (LH)
- Dopo la rotazione gli elettroni sono ancora completamente polarizzati
  - Nel primo caso verso l'alto
  - Nel secondo verso il basso
- Ricordiamo la formula della sezione d'urto

$$\sigma(\theta, \xi) \sim I(\theta) + \frac{D(\theta)}{|\sin \theta|} \hat{\mathbf{p}}_1 \times \hat{\mathbf{p}}_2 \cdot \xi$$

- · Le misure da fare sono
  - ullet La sezione d'urto per un angolo  $heta_R$ 
    - Spin up  $\sigma(\theta_R, \uparrow) \sim I(\theta_R) D(\theta_R)$
    - Spin down  $\sigma(\theta_R, \Downarrow) \sim I(\theta_R) + D(\theta_R)$  §



- ullet La sezione d'urto per un angolo  $heta_L$  opposto a  $heta_R$ 
  - Spin up  $\sigma(\theta_L, \uparrow) \sim I(\theta_L) + D(\theta_L)$  f  $\xi$   $\widehat{\mathbf{p}}_1 \times \widehat{\mathbf{p}}_2$   $\widehat{\mathbf{p}}_1$
  - Spin down  $\sigma(\theta_L, \Downarrow) \sim I(\theta_L) D(\theta_L)$  §



- Nell'esperimento gli elettroni non sono completamente polarizzati
  - ullet La misura della polarizzazione  $\wp$  è l'obbiettivo dell'esperimento
  - La polarizzazione degli elettroni è data da
    - $N_+$  polarizzati up (probabilità  $rac{N_+}{N_-}$  )
    - $N_-$  polarizzati down (probabilità $rac{N_-}{N}$  )
- $\wp = \frac{N_{+} N_{-}}{N_{+} + N_{-}} \quad N = N_{+} + N_{-}$ • La sezione d'urto osservata per un angolo  $\theta_R$  è

$$\sigma \left( \theta_R \right) = \frac{N_+}{N} \sigma \left( \theta_R, \uparrow \right) + \frac{N_-}{N} \sigma \left( \theta_R, \downarrow \right) \qquad \qquad \sigma \left( \theta_R \right) \sim I \left( \theta_R \right) - \wp D \left( \theta_R \right)$$

ullet Analogamente, per un angolo  $heta_L$  si osserva

$$\sigma(\theta_L) = \frac{N_+}{N} \sigma(\theta_L, \uparrow) + \frac{N_-}{N} \sigma(\theta_L, \downarrow) \qquad \qquad \sigma(\theta_L) \sim I(\theta_L) + \wp D(\theta_L)$$

- $\delta = \frac{\sigma(\theta_L) \sigma(\theta_R)}{\sigma(\theta_R) + \sigma(\theta_R)}$ • Definiamo l'asimmetria  $\delta$ 
  - Ci mettiamo nella condizione

$$\theta_R = -\theta_L \equiv \theta$$

• Si può verificare che

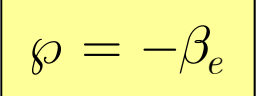
$$I(\theta) = I(-\theta)$$
$$D(\theta) = D(-\theta)$$

$$\delta = \frac{D(\theta)}{I(\theta)} \wp \equiv S(\theta) \wp$$

•  $S(\theta)$  è noto: la misura di  $\delta$  permette di misurare  $\wp$ 

$$\delta = \frac{D(\theta)}{I(\theta)} \wp \equiv S(\theta) \wp$$

- Osservazioni
  - $S(\theta)$  dipende anche dall'energia dell'elettrone
  - È necessario che gli angoli  $\theta_R$  e  $\theta_L$  siano perfettamente simmetrici
  - L'esperimento è sensibile solo alla polarizzazione trasversale
    - Un errore nella rotazione dello spin porta ad un errore sistematico su  $\wp$
  - ullet L'effetto aumenta al crescere di Z
    - Si usano metalli pesanti come l'oro
- Per ottimizzare l'esperimento si può cercare l'angolo al quale l'effetto è più grande
- Occorre però tenere presente che al crescere dell'angolo la sezione d'urto diminuisce
  - Occorre trovare un compromesso tra la dimensione dell'effetto misurato e l'errore statistico con cui esso viene determinato
- La tabella mostra i risultati del primo esperimento
  - Con esperimenti successivi



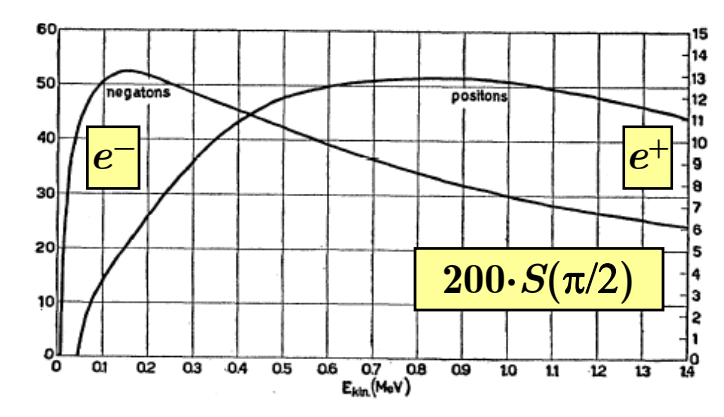


Table I. The polarization of electrons from Co.

| Electron<br>energy<br>kev | $\beta = v/c$ | Gold scat-<br>tering foil<br>mg/cm <sup>2</sup> | Left-right asymmetry $L/R$ | $\begin{array}{c} \text{Longitudinal} \\ \text{polarization} \\ P \end{array}$ |
|---------------------------|---------------|---|----------------------------|--|
| 50                        | 0.41          | 0.15  | $1.03\pm0.03$              | -0.04  |
| 68                        | 0.47          | 0.15  | $1.13\pm0.02$              | -0.16  |
| 77                        | 0.49          | 0.05  | $1.35\pm0.06$              | -0.40  |
| 77                        | 0.49          | 0.15  | $1.30\pm0.09$              | -0.35  |
|                           |               |   |                            |  |

# Determinazione di $C_A$ e $C_V$

• Abbiamo già visto che la misura della vita media di nuclei permette di determinare la costante di accoppiamento  $G_{\beta}$ 

$$\lambda_F = rac{1}{ au} = rac{G_eta^2}{2\pi^3} \xi f$$

ullet Tuttavia, il parametro  $\xi$  contiene una dipendenza dal rapporto  $C_A/C_V$ 

$$\xi = |\langle 1 \rangle|^2 + \frac{C_A^2}{C_V^2} |\langle \sigma \rangle|^2$$

• I decadimenti di Fermi contengono solo il termine <1> e permettono pertanto la determinazione di  $G_{\beta}^{\dagger}$  senza ulteriori informazioni

$$G_{\beta} = 1.13578 \pm 0.00027 \times 10^{-5} \,\mathrm{GeV}^{-2}$$

• Ulteriori misure di su transizioni di Gamov-Teller o miste permettono la determinazione di  $|C_A/C_V|$ 

$$\left| \frac{C_A}{C_V} \right| = 1.2695 \pm 0.0029$$

†Blucher, Marciano PDG 2006 J. Phys. G 33 pag. 677
 Ceccucci, Ligeti, Sakai PDG 2006 J. Phys. G 33 pag. 138

# Determinazione di $C_A$ e $C_V$

- Il segno relativo delle due costanti si può determinare con la misura di una grandezza osservabile che dipenda dal prodotto  $C_A \cdot C_V$  e quindi dall'interferenza fra termini di Fermi e Gamov-Teller
  - Occorre pertanto studiare transizioni di nuclei polarizzati
- Per nuclei non polarizzati l'elemento di matrice contiene il termine  $1+a\beta_e{\cdot}\beta_{
  u}$ 
  - Osservabili che dipendono dal vettore di polarizzazione del nucleo  $\sigma$  contengono termini del tipo

$$1 + a\beta_e \cdot \beta_\nu + b\hat{\sigma} \cdot \beta_e + c\hat{\sigma} \cdot \beta_\nu$$

• Per neutroni polarizzati si trova

$$b = -2\frac{C_A^2 + C_V C_A}{C_V^2 + 3C_A^2} \quad c = 2\frac{C_A^2 - C_V C_A}{C_V^2 + 3C_A^2}$$

• Misure di correlazione angolare fra la direzione dell'elettrone (o del neutrino) e lo spin nucleare mostrano che il segno relativo è positivo

$$\frac{C_A}{C_V} = +1.2695 \pm 0.0029$$

## L'Hamiltoniana del Decadimento $\beta$

- Gli esperimenti descritti hanno permesso la determinazione della forma dell'Hamiltoniana del decadimento eta
  - Sono stati esclusi i termini Scalare e Tensoriale

$$C_S = C_T = 0$$

Sono state determinate le costanti degli accoppiamenti Vettoriale e Assiale

$$G_{\beta} = GC_{V}$$
  $\frac{C_{A}}{C_{V}} = \kappa$   $\alpha_{V} = \alpha_{A} = 1$ 

ullet L'Hamiltoniana pertanto contiene solo i termini V e A

$$\mathcal{H}_{I}' = G\left[C_{V}\left(\overline{\psi}_{p}\gamma^{\mu}\psi_{n}\right)\left(\overline{\psi}_{e}\left(1+\gamma^{5}\right)\gamma_{\mu}\psi_{\nu}\right) + C_{A}\left(\overline{\psi}_{p}\gamma^{5}\gamma^{\mu}\psi_{n}\right)\left(\overline{\psi}_{e}\left(1+\gamma^{5}\right)\gamma^{5}\gamma_{\mu}\psi_{\nu}\right)\right]$$

ullet Il termine assiale può essere semplificato utilizzando  $(\gamma^5)^2=I$ 

$$\mathcal{H}_{I}' = G\left[C_{V}\left(\overline{\psi}_{p}\gamma^{\mu}\psi_{n}\right)\left(\overline{\psi}_{e}\left(1+\gamma^{5}\right)\gamma_{\mu}\psi_{\nu}\right) + C_{A}\left(\overline{\psi}_{p}\gamma^{5}\gamma^{\mu}\psi_{n}\right)\left(\overline{\psi}_{e}\left(1+\gamma^{5}\right)\gamma_{\mu}\psi_{\nu}\right)\right]$$

• Infine raccogliamo la parte leptonica

$$\mathcal{H}_{I}' = G \left[ C_{V} \left( \overline{\psi}_{p} \gamma^{\mu} \psi_{n} \right) + C_{A} \left( \overline{\psi}_{p} \gamma^{5} \gamma^{\mu} \psi_{n} \right) \right] \left( \overline{\psi}_{e} \left( 1 + \gamma^{5} \right) \gamma_{\mu} \psi_{\nu} \right)$$

## L'Hamiltoniana del Decadimento $\beta$

$$\mathcal{H}_{I}' = G\left[C_{V}\left(\overline{\psi}_{p}\gamma^{\mu}\psi_{n}\right) + C_{A}\left(\overline{\psi}_{p}\gamma^{5}\gamma^{\mu}\psi_{n}\right)\right]\left(\overline{\psi}_{e}\left(1 + \gamma^{5}\right)\gamma_{\mu}\psi_{\nu}\right)$$

• Possiamo ulteriormente semplificare

$$\mathcal{H}_{I}' = G(\bar{\psi}_{p}(C_{V} + C_{A}\gamma^{5})\gamma^{\mu}\psi_{n})(\bar{\psi}_{e}(1 + \gamma^{5})\gamma_{\mu}\psi_{\nu})$$

• E ancora

$$\mathcal{H}_{I}' = GC_{V}\left(\overline{\psi}_{p}\left(1 + \kappa \gamma^{5}\right) \gamma^{\mu} \psi_{n}\right) \left(\overline{\psi}_{e}\left(1 + \gamma^{5}\right) \gamma_{\mu} \psi_{\nu}\right)$$

- Come abbiamo già detto  $\kappa=1.27$  e  $GC_{V}$   $\equiv G_{eta}$ 
  - Il valore di  $\kappa$  diverso da 1 dipende dal fatto che il nucleone non è una particella puntiforme
    - Il protone ha una struttura
    - Ritorneremo su questo punto in seguito
- ullet Per il momento trascuriamo questo aspetto e assumiamo  $\kappa=1$

$$\mathcal{H}_{I}' = G_{\beta} \overline{\psi}_{p} \left( 1 + \gamma^{5} \right) \gamma^{\mu} \psi_{n} \cdot \overline{\psi}_{e} \left( 1 + \gamma^{5} \right) \gamma_{\mu} \psi_{\nu}$$

• In una notazione più moderna è diventato abituale spostare la matrice  $\gamma^\mu$  a sinistra

$$\mathcal{H}'_{I} = G_{\beta} \overline{\psi}_{p} \gamma^{\mu} \left( 1 - \gamma^{5} \right) \psi_{n} \cdot \overline{\psi}_{e} \gamma_{\mu} \left( 1 - \gamma^{5} \right) \psi_{\nu}$$

# L'Hamiltoniana del Decadimento eta

- Definiamo due generiche correnti ( sia adronica che leptonica)
  - Una corrente Vettoriale  $J_V^\mu = \overline{\psi} \gamma^\mu \psi$
  - Una corrente Assiale  $J_A^\mu = \overline{\psi} \gamma^\mu \gamma^5 \psi$
- Le due correnti (adronica e leptonica) compaiono nell'Hamiltoniana nella combinazione  $J^\mu = J_V^\mu J_A^\mu.$ 
  - È questa la famosa forma V-A delle correnti deboli ( cariche )
- Infine, per uniformarci alle notazioni maggiormente utilizzate ridefiniamo la costante di Fermi
  - La costante G è stata definita da Fermi prima della scoperta della violazione della parità
    - La generalizzazione dell'interazione di Fermi e l'introduzione della violazione della parità hanno condotto ad una Hamiltoniana che contiene due correnti  $(V\!-\!A)$
  - Per mantenere la stessa definizione di Fermi è necessario dividere G per  $\sqrt{2}$

$$\mathcal{H}_{I}' = \frac{G_{\beta}}{\sqrt{2}} \overline{\psi}_{p} \gamma^{\mu} \left(1 - \gamma^{5}\right) \psi_{n} \cdot \overline{\psi}_{e} \gamma_{\mu} \left(1 - \gamma^{5}\right) \psi_{\nu}$$